

# Przewidywanie właściwości sekwencji biologicznych w oparciu o analizę n-gramów

---

Michał Burdukiewicz

Zakład Genomiki, Uniwersytet Wrocławski

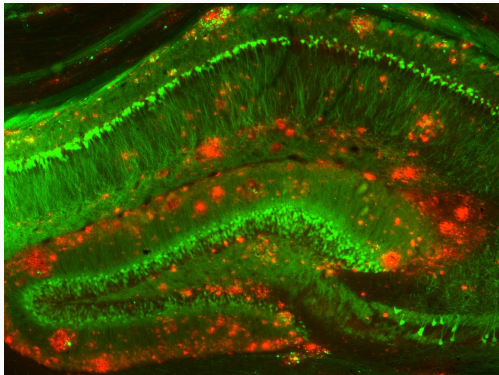
Prace eksperymentalne zazwyczaj poprzedza się analizami komputerowymi, które pozwalają optymalniej zaprojektować dalsze badania.

Przykłady:

- przewidywanie lokalizacji białek w komórce,
- modelowanie struktury przestrzennej białek oraz kwasów nukleinowych,
- wykrywanie miejsc wiązania czynników transkrypcyjnych,
- poszukiwanie sekwencji kodujących białko.

# Białka amyloidowe

Białka związane z licznymi chorobami (np. choroby Alzheimera, Parkinsona, Creutzfeldta-Jakoba) tworzące szkodliwe agregaty.

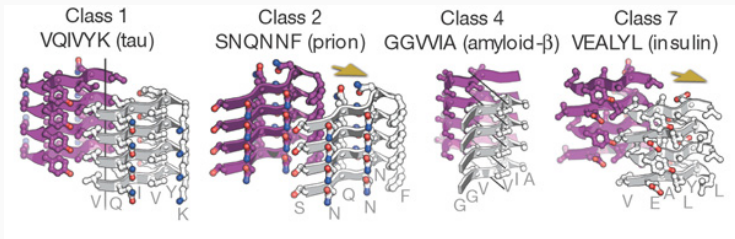


Agregaty amyloidowe (czerwony) wokół neuronów (zielony). Strittmatter Laboratory, Yale University.

# Białka amyloidowe

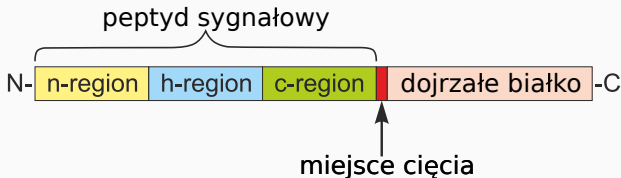
Hot-spots:

- krótkie (6-15 aminokwasów), ale bardzo zróżnicowane fragmenty białek amyloidogennych,
- miejsce inicjacji agregacji amyloidowej,
- formują specyficzne struktury  $\beta$  typu "zamka błyskawicznego".



Sawaya et al. (2007)

# Peptydy sygnałowe

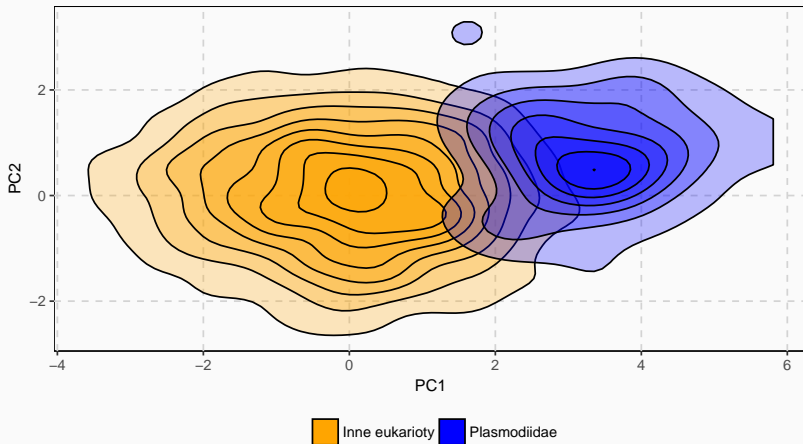


Peptydy sygnałowe:

- krótkie (15-30 aminokwasów) N-końcowe sekwencje,
- występują w białkach układu odpornościowego, strukturalnych, enzymach metabolicznych i hormonach,
- składają się z trzech regionów, gdzie preferowane są aminokwasy o określonych właściwościach fizykochemicznych.
- zróżnicowany skład aminokwasowy peptydów sygnałowych utrudnia ich rozpoznawanie.

# Peptydy sygnałowe

Peptydy sygnałowe zarodźców malarii mają skład aminokwasowy różny od peptydów sygnałowych innych eukariontów.



PCA częstości aminokwasów w peptydach sygnałowych.

n-gramy (k-tuple, k-mery):

- podsekwencje (ciągłe lub z przerwami) o długości  $n$ ,
- uwzględniają otoczenie danej reszty.

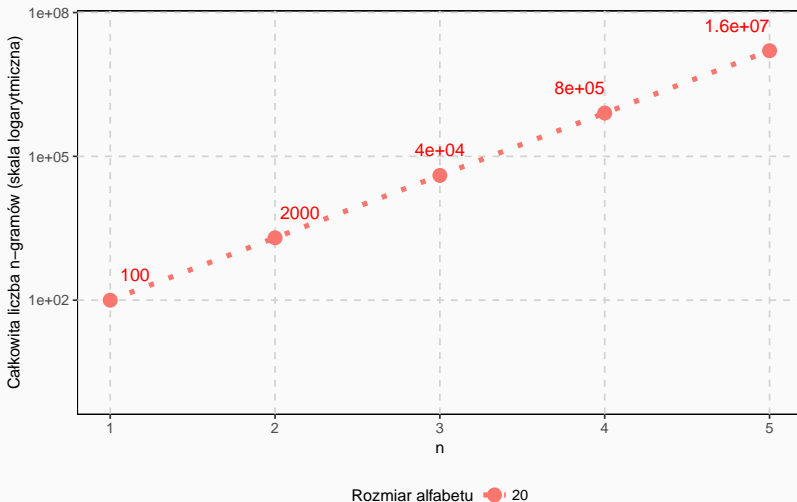
	P1	P2	P3	P4	P5
S1	M	R	K	L	Y

2-gramy: MR, RK, KL, LY

2-gramy (przerwa 1): M – K, R – L, K – Y

3-gramy: MRK, RKL, KLY

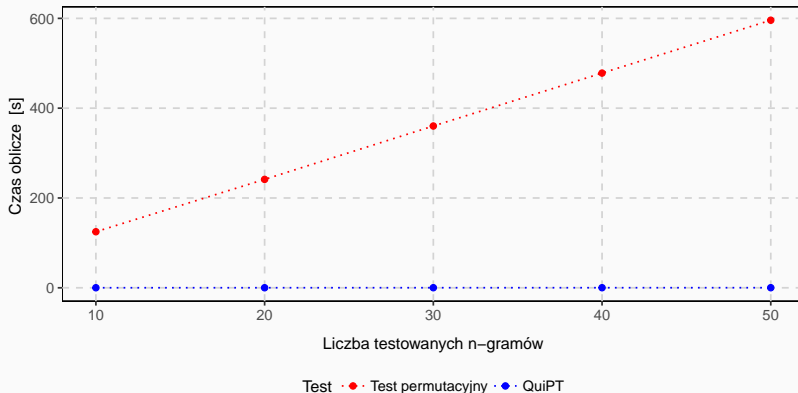
# n-gramy



n-gramy tworzą duże i trudne do analizy zbiory danych.



QuiPT (**Q**uick **P**ermutation **T**est) szybko i efektywnie filtruje informatywne n-gramy.



QuiPT jest szybszy niż klasyczne testy permutacyjne i zwraca dokładniejsze p-wartości.

## Uprozczone alfabety:

- opierają się na grupowaniu aminokwasów o podobnych właściwościach fizykochemicznych,
- ułatwiają modelowanie i przewidywanie właściwości sekwencji (Murphy et al., 2000),
- tworzą łatwiej interpretowalne modele.

Dwie sekwencje zupełnie różne pod względem składu aminokwasowego mogą być identyczne pod względem właściwości reszt.

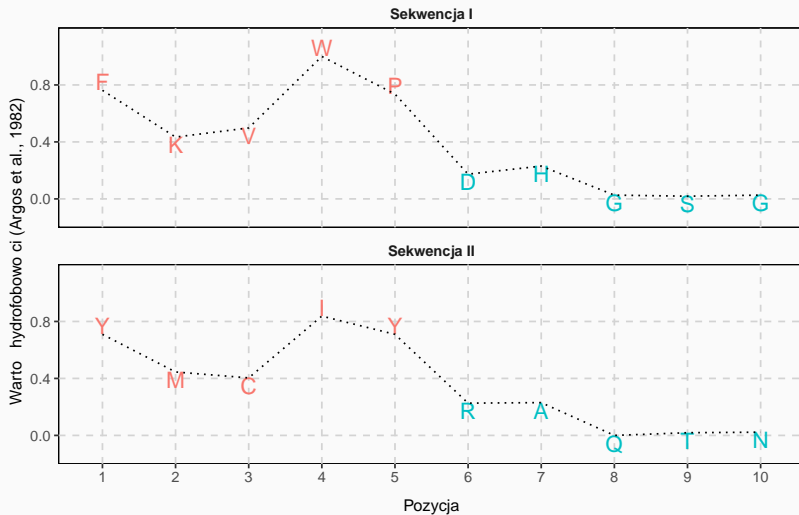
Sekwencja I:

FKVWPDHGSG

Sekwencja II:

YMCIYRAQTN

# Uprozczone alfabety



# Uprozczone alfabety

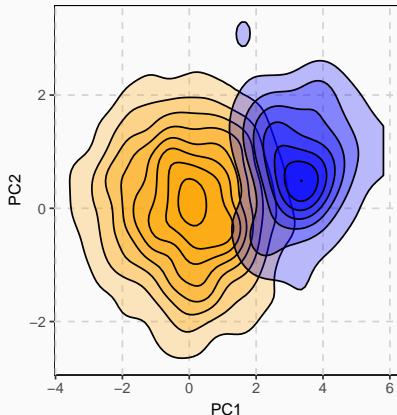
Nr podgrupy	Aminokwasy
1	C, I, L, K, M, F, P, W, Y, V
2	A, D, E, G, H, N, Q, R, S, T

Sekwencja I: FKVWPDHGSG → 1111122222

Sekwencja II: YMCIIYRAQTN → 1111122222

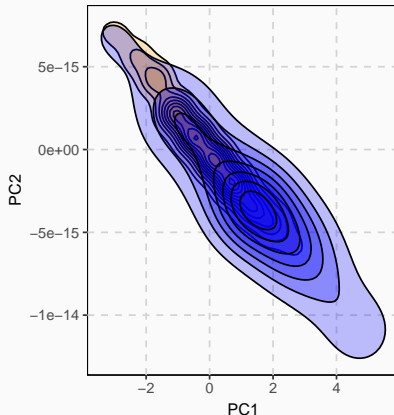
# Uprozczone alfabety

Pełny alfabet



■ Inne eukarioty ■ Plasmodiidae

Uproszczony alfabet



■ Inne eukarioty ■ Plasmodiidae

PCA częstości pojedynczych aminokwasów w peptydach sygnałowych innych eukariotów i zarodźców malarii.

AmyloGram: oparte o redukcję alfabetów i kodowanie n-gramowe narzędzie do predykcji białek amyloidogennych (Burdukiewicz et al., 2016).

Amyloidy

FILITQA

LHYSGD

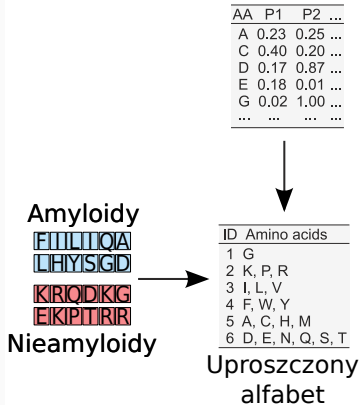
KRQDKG

EKPTRR

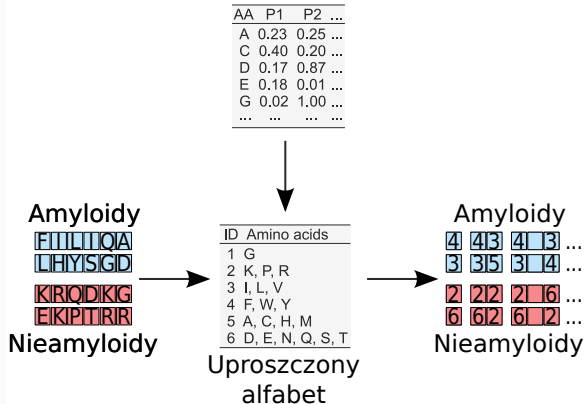
Nieamyloidy



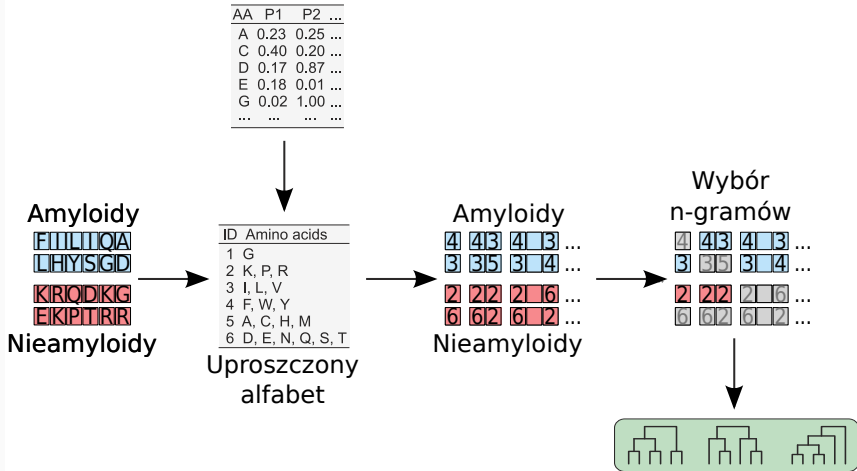
# AmyloGram



# AmyloGram



# AmyloGram



## Porównanie z innymi klasyfikatorami

Klasyfikator	AUC	MCC
AmyloGram	<b>0.8972</b>	<b>0.6307</b>
PASTA 2.0 (Walsh et al., 2014)	0.8550	0.4291
FoldAmyloid (Garbuzynskiy et al., 2010)	0.7351	0.4526
APPNN (Família et al., 2015)	0.8343	0.5823

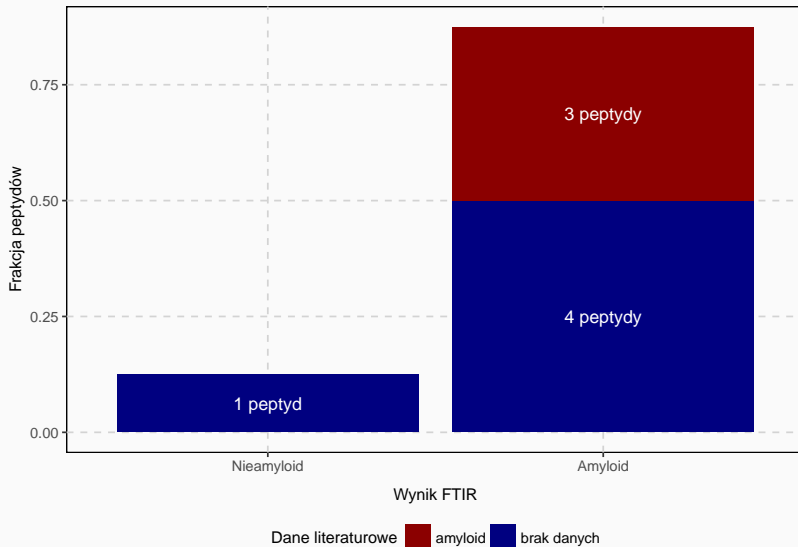
AUC (Area Under the Curve): miara jakości predykcji (1: idealny dobry klasyfikator, 0: idealnie zły klasyfikator).

MCC (Matthew's Correlation Coefficient): miara jakości predykcji (1: idealny dobry klasyfikator, -1: idealnie zły klasyfikator).

AmyloGram porównano z innymi klasyfikatorami na zewnętrznym zbiorze danych *pep424*.

1. Wszystkie nieamyloidowe peptydy z bazy AmyLoad zanalizowano AmyloGramem.
2. Wybrano 8 peptydów z najwyższym prawdopodobieństwem amyloidogenności.
3. Peptydy zbadano przy pomocy spektroskopii fourierowskiej (FTIR).
4. Wyniki potwierdzono esejami z czerwienią Kongo i tioflawiną.

# Walidacja eksperymentalna



1. Stworzono algorytm efektywnie selekcionujący informatywne n-gramy reprezentujące sekwencje aminokwasowe.
2. Opracowano metody poszukujące uproszczone alfabetu aminokwasowe.
3. Opracowaną metodologię zastosowano do przewidywania białek amyloidogennych tworząc pakiet **R** i web server AmyloGram (<http://www.smorfland.uni.wroc.pl/shiny/AmyloGram/>).

1. Zastosowanie opracowanej metodologii do przewidywania lokalizacji subkomórkowej białek.
2. Upublicznienie rozwijanych metod w postaci pakietu *biogram* w środowisku programistycznym i statystycznym **R**.



## Literatura

---

- Burdukiewicz, M., Sobczyk, P., Rödiger, S., Duda-Madej, A., Mackiewicz, P., and Kotulska, M. (2016). Prediction of amyloidogenicity based on the n-gram analysis. Technical Report e2390v1, PeerJ Preprints.
- Família, C., Dennison, S. R., Quintas, A., and Phoenix, D. A. (2015). Prediction of Peptide and Protein Propensity for Amyloid Formation. *PLOS ONE*, 10(8):e0134679.

## References II

- Garbuzynskiy, S. O., Lobanov, M. Y., and Galzitskaya, O. V. (2010). FoldAmyloid: a method of prediction of amyloidogenic regions from protein sequence. *Bioinformatics (Oxford, England)*, 26(3):326–332.
- Murphy, L. R., Wallqvist, A., and Levy, R. M. (2000). Simplified amino acid alphabets for protein fold recognition and implications for folding. *Protein Engineering*, 13(3):149–152.
- Sawaya, M. R., Sambashivan, S., Nelson, R., Ivanova, M. I., Sievers, S. A., Apostol, M. I., Thompson, M. J., Balbirnie, M., Wiltzius, J. J. W., McFarlane, H. T., Madsen, A., Riek, C., and Eisenberg, D. (2007). Atomic structures of amyloid cross-spines reveal varied steric zippers. *Nature*, 447(7143):453–457.

Walsh, I., Seno, F., Tosatto, S. C. E., and Trovato, A. (2014).  
PASTA 2.0: an improved server for protein aggregation  
prediction. *Nucleic Acids Research*, 42(W1):W301–W307.